

грешность приведенной оценки в невырожденных случаях не превышает 5 %, что намного перекрывает погрешностями постановки. С приближением к области вырождения ошибка растет, оставаясь тем не менее в пределах 20 %. Это позволяет говорить о достаточно широких границах применимости сделанного приближения.

Параметр Ω_* входит в обе части уравнения (12), и в качестве начального приближения для итерационного процесса удобно пользоваться формулой

$$\frac{\Omega_*}{\Omega_0} = \frac{l/z_3 \beta}{1 + A_6 R_3 l},$$

которая следует из (12) при $v_2 = v_3 = 0$.

В заключение отметим, что все расчеты проводились с использованием шести различных критериев выбора Ω_* . Первый критерий — «классический», когда критические режимы связываются с появлением точки перегиба на термограмме нагрева (см. рис. 3, 2). Второй, приведенный ранее, предполагает, что Ω_* соответствует перегибу диаграммы зависимости $\Theta_{\max}(\Omega)$ (см. рис. 4): $d^2\Theta_{\max}/d\Omega^2 = 0$. Согласно третьему, Ω_* определяется из условия $\Theta_{\max} = \alpha \Theta_a$, где α варьировалась от 0,1 до 0,5. И наконец, последние три критерия аналогичны первым с той разницей, что вместо температуры использовалась величина перегрева $\Theta - \Theta_p$ в надежде «отфильтровать» режимы вырождения, обусловленного уменьшением эффективной поверхности теплоотдачи в ходе реакции. Сравнительный анализ показал, что все эти критерии дают близкие значения Ω_* , одинаково хорошо соответствующие предсказаниям формулы (12) в невырожденных режимах. Однако в вырожденных и близких к вырожденным условиям они дают большое расхождение с указанной оценкой, что не позволяет отдать предпочтение ни одному из перечисленных критериев.

ЛИТЕРАТУРА

- Некрасов Е. А., Иванов И. А. О влиянии массовых потоков вещества и объемных изменений в процессах реакционной диффузии // Изв. АН СССР. Металлы.— 1988.— № 1.— С. 45—50.
- Вадченко С. Г., Григорьев Ю. М., Мержанов А. Г. Исследование механизма воспламенения и горения систем титан — углерод, цирконий — углерод электротермографическим способом // ФГВ.— 1976.— 12, № 5.— С. 676—682.
- Хайкин Б. И., Блоценко В. Н., Мержанов А. Г. О воспламенении частиц металлов // Там же.— 1970.— 5, № 4.— С. 474—488.

г. Томск

Поступила в редакцию 25/VII 1991

УДК 536.46

B. H. Лихачев, Г. С. Сухов, Л. П. Ярин

К ТЕОРИИ ГОРЕНИЯ ПУЗЫРЬКОВЫХ СРЕД

Рассмотрены закономерности распространения волн горения в пузырьковых средах с учетом теплового расширения пузырьков и связанного с этим движения жидкой и газообразной фаз. На основе принятой модели, согласно которой волна горения представляется в виде совокупности трех характерных зон, отвечающих соответственно процессам прогрева парогазовой смеси, протекания химической реакции и теплоотдачи от продуктов сгорания, получена система уравнений, связывающая конечные и начальные параметры процесса. Проведен сравнительный анализ основных характеристик процесса распространения горения для моделей с расширяющимися и вмороженными пузырьками.

Закономерности горения пузырьковых сред представляют значительный интерес в связи с изучением волновых процессов в гетерогенных реагирующих системах. Они существенны также для ряда приложений в различных отраслях современной техники и технологии, например в вос-

становительной металлургии титана, гафния, циркония [1, 2], при получении углеводородных соединений методом погружного горения [3, 4] и др.

Впервые на принципиальную возможность существования волн горения в пузырьковых средах указано в работах [5—7], где асимптотическими методами теории горения исследованы закономерности самоподдерживающегося волнового процесса с химической реакцией, распространяющегося по активной жидкости, содержащей пузырьки газообразного окислителя. В цитированных работах анализ процесса проведен при допущении о вморможности газовых пузырьков в жидкость, т. е. без учета гидродинамики течения, обусловленной изменением размера пузырьков в периоды их прогрева, горения и тепловой релаксации. В настоящей статье рассмотрены закономерности распространения волн горения в пузырьковых средах с учетом гидродинамики течения при наличии динамического и теплового взаимодействия фаз.

Основные уравнения

Рассмотрим реагирующую пузырьковую среду в виде жидкости с равномерно распределенными в ней пузырьками одинакового размера, заполненными смесью газообразного окислителя и паров жидкости. Механизм горения такой среды отличается сложным, многоступенчатым характером теплопередачи от горячих продуктов реакции в пузырьках к холодной смеси (через межфазную поверхность газ — жидкость, по жидкости и снова через межфазную поверхность жидкость — газ), а также сильной температурной неравновесностью, обусловленной преобладанием нагрева газовой фазы за счет химической реакции над теплоотдачей в жидкость [8].

При описании рассматриваемого процесса воспользуемся аналогично [5—8] феноменологическим подходом [9], согласно которому жидкая и газообразная фазы представляются в виде условных континуумов с эффективной плотностью вещества ρ_i , связанной с физической плотностью ρ_i^0 соотношением $\rho_i = m_i \rho_i^0$, где m_i — объемное содержание газообразной ($i = 1$) и жидкой ($i = 2$) фаз. Считая коэффициенты переноса постоянными, запишем уравнения сохранения массы, импульса и энергии для фаз и компонентов газовой фазы, а также уравнение состояния газа и макрокинетический закон реакции. В лабораторной системе координат эти уравнения имеют следующий вид:

$$\begin{aligned}
 \frac{\partial \rho_1}{\partial t'} + \frac{\partial (\rho_1 u'_1)}{\partial x'} &= W_n, \\
 \frac{\partial \rho_2}{\partial t'} + \frac{\partial (\rho_2 u'_2)}{\partial x'} &= -W + W_n, \\
 \frac{\partial \rho_a}{\partial t'} + \frac{\partial (\rho_a u'_a)}{\partial x'} &= -\mu W, \\
 \rho_2^0 \frac{\partial (1-m)}{\partial t'} + \rho_2^0 \frac{\partial}{\partial x'} [(1-m) u'_2] &= -W_n, \\
 \rho_1 \frac{\partial u'_1}{\partial t'} + \rho_1 u'_1 \frac{\partial u'_1}{\partial x'} &= -k(u'_1 - u'_2), \\
 \rho_2^0 (1-m) \frac{\partial u'_2}{\partial t'} + \rho_2^0 (1-m) u'_2 \frac{\partial u'_2}{\partial x'} &= \frac{\partial}{\partial x'} \left[\rho_2^0 v (1-m) \frac{\partial u'_2}{\partial x'} \right] + k(u'_1 - u'_2) - \frac{\partial p}{\partial x'}, \\
 c_1 \rho_1 \frac{\partial T_1}{\partial t'} + c_1 \rho_1 u'_1 \frac{\partial T_1}{\partial x'} &= q_T W - \alpha S(T_1 - T_2) + W_n (q_n - c_1 T_1), \\
 c_2 \rho_2^0 (1-m) \frac{\partial T_2}{\partial t'} + c_2 \rho_2^0 (1-m) u'_2 \frac{\partial T_2}{\partial x'} &= \frac{\partial}{\partial x'} \left[\lambda (1-m) \frac{\partial T_2}{\partial x'} \right] + \\
 &+ \alpha S(T_1 - T_2) - W_n (q_n - c_2 T_2),
 \end{aligned} \tag{1}$$

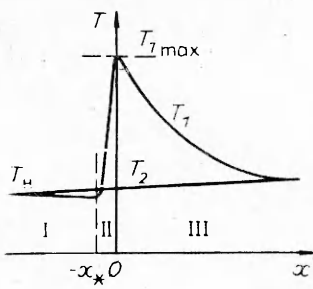


Рис. 1. Изменение температур фаз в волне горения.
Зоны: I — прогрева, II — реакции, III — тепловой релаксации.

$$mp = \rho_1 R_g T_1, \quad S = (36\pi N)^{1/3} \cdot m^{2/3}, \\ W = mzf(\eta) \exp(-E/RT_1),$$

где \$m_1 = m\$ — объемное содержание газовой фазы; \$\alpha\$ — коэффициент межфазного теплообмена; \$S\$ — удельная межфазная поверхность; \$N\$ — концентрация пузырьков; \$c\$ — удельная теплоемкость при постоянном давлении; \$q_t\$, \$W\$ — тепловой эффект и скорость химической реакции; \$\eta = -(\rho_{an} - \rho_a)/\rho_{an}\$ — полнота выгорания газообразного окислителя; \$W_n\$ — объемная скорость фазового перехода; \$q_n\$ — удельная теплота парообразования; \$v\$, \$\lambda\$ — соответственно коэффициенты кинематической вязкости и теплопроводности жидкости; \$\mu\$ — стехиометрическое число; \$R_g\$, \$R\$ — газовая и универсальная газовая постоянная; \$z\$, \$E\$ — кинетические константы реакции; \$f(\eta) = 1\$ при \$\eta < 1\$, \$f(1) = 0\$ — функция выгорания; \$p\$ — давление; \$k\$ — коэффициент межфазного взаимодействия; \$u_{1,2}\$ — скорости движения фаз; индексы 1 и 2 соответствуют газообразной и жидкой фазам; индексы \$a\$, \$b\$, \$n\$ отвечают окислителю, парам жидкости и продуктам сгорания, а \$i\$ — начальному состоянию.

Следует отметить, что в уравнении движения в силу малой интенсивности парообразования опущен член, отражающий изменение импульса за счет переноса массы через межфазную поверхность, а в уравнении энергии из-за малой скорости движения — член, отражающий диссиацию механической энергии. Силы Архимеда и присоединенных масс также не учитываются. При написании уравнения энергии не учтена работа расширения в газовой фазе ввиду ее малости.

Переходя к подвижной системе координат \$x\$, \$t\$, в которой начало отсчета связано с пиком температуры в пузырях (рис. 1):

$$t = t', \quad x = x' + \int_0^{t'} u_r dt, \\ u_{1,2} = u'_{1,2} - u_r, \quad \frac{\partial}{\partial x'} = \frac{\partial}{\partial x}, \quad \frac{\partial}{\partial t'} = \frac{\partial}{\partial t} + u_r \frac{\partial}{\partial x}$$

(\$u_r\$ — скорость распространения волны горения), и полагая процесс стационарным (\$\frac{\partial}{\partial t} = 0\$), преобразуем дифференциальные уравнения системы (1) к виду

$$\frac{d(\rho_1 u_1)}{dx} - \frac{d(\rho_b u_1)}{dx} = W, \quad (2)$$

$$\rho_{an} \frac{d}{dx} [(1 - \eta) u_1] = -\mu W, \quad (3)$$

$$\rho_2^0 \frac{d}{dx} [(1 - m) u_2] + \frac{d(\rho_1 u_1)}{dx} = 0, \quad (4)$$

$$\rho_1 u_1 \frac{du_1}{dx} = -k(u_1 - u_2), \quad (5)$$

$$\rho_2^0 (1 - m) u_2 \frac{du_2}{dx} = \frac{d}{dx} \left[\rho_2^0 v (1 - m) \frac{du_2}{dx} \right] + k(u_1 - u_2) - \frac{dp}{dx}, \quad (6)$$

$$c_1 \rho_1 u_1 \frac{dT_1}{dx} = q_t W - \alpha S (T_1 - T_2) + (q_n - c_1 T_1) \frac{d(\rho_1 u_1)}{dx}, \quad (7)$$

$$c_2 \rho_2^0 (1 - m) u_2 \frac{dT_2}{dx} = \frac{d}{dx} \left[\lambda (1 - m) \frac{dT_2}{dx} \right] + \alpha S (T_1 - T_2) - (q_n - c_2 T_2) \frac{d(\rho_1 u_1)}{dx}. \quad (8)$$

Границные условия, отвечающие рассматриваемой задаче, имеют вид:

$$\begin{aligned} x = -\infty, \quad T_1 = T_2 = T_{\text{н}}, \quad u_1 = u_2 = u_{\text{г}}, \quad m = m_{\text{н}}, \quad p = p_{\text{н}}, \\ \rho_a = \rho_{a\text{н}}, \quad \rho_b = \rho_{b\text{н}}, \quad \rho_1 = \rho_{\text{н}}, \quad \eta = 0, \quad W = 0; \\ x = +\infty, \quad T_1 = T_2 = T_{\text{к}}, \quad u_1 = u_2 = u_{\text{к}}, \quad m = m_{\text{к}}, \\ p = p_{\text{к}}, \quad \eta = 1, \end{aligned}$$

где параметры начального состояния определяются по заданным внешнему давлению $p_{\text{н}}$, начальной температуре $T_{\text{н}}$ и газосодержанию $m_{\text{н}}$:

$$\rho_{b\text{н}} = \frac{m_{\text{н}} p_{b\text{н}}}{R_b T_{\text{н}}}, \quad \rho_{a\text{н}} = \frac{m_{\text{н}} p_{a\text{н}}}{R_a T_{\text{н}}}, \quad p_{a\text{н}} = p_{\text{н}} - p_{b\text{н}},$$

$$\rho_{1\text{н}} = \rho_{a\text{н}} + \rho_{b\text{н}}, \quad p_{b\text{н}} = z_{\text{п}} \exp(-q_{\text{п}}/R_b T_{\text{н}}).$$

Здесь $z_{\text{п}}$ — предэкспоненциальный множитель в уравнении Клапейрона — Клаузиуса.

Параметры конечного состояния

В дальнейшем при анализе пузырькового горения воспользуемся предложенной в работах [5, 6] моделью, согласно которой волна горения представляется в виде совокупности трех характерных зон, отвечающих соответственно процессам прогрева парогазовой смеси, протеканию в ней интенсивной химической реакции, а также теплоотдачи от продуктов сгорания к жидкому реагенту при практическом отсутствии химической реакции. В соответствии с этой моделью найдем зависимости параметров конечного состояния от начальных параметров, преобразуя уравнения (2) — (8) с учетом граничных условий. Умножив (4) на $c_2 T_2$ и сгруппировав полученное равенство с уравнениями (3), (7) и (8), получим

$$c_1 \frac{d(\rho_1 u_1 T_1)}{dx} + c_2 \rho_2^0 \frac{d}{dx} [(1-m) u_2 T_2] + \frac{\rho_{a\text{н}} q_T}{\mu} \frac{d}{dx} [(1-\eta) u_1] = \lambda \frac{d}{dx} \left[(1-m) \frac{dT_2}{dx} \right]. \quad (9)$$

Интегрирование уравнений (9) и (4) от начального до конечного (индекс к) состояния дает выражения для значения конечной температуры

$$T_{\text{к}} = \frac{u_{\text{г}}}{u_{\text{к}}} \frac{q_{\text{т}} \rho_{a\text{н}} / \mu + c_1 \rho_{1\text{н}} T_{\text{н}} + c_2 \rho_2^0 (1-m_{\text{н}}) T_{\text{н}}}{c_1 \rho_{1\text{к}} + c_2 \rho_2^0 (1-m_{\text{к}})} \quad (10)$$

и газосодержания

$$m_{\text{к}} = 1 + \rho_{1\text{к}} / \rho_2^0 - [(1-m_{\text{н}}) + \rho_{1\text{н}} / \rho_2^0] u_{\text{г}} / u_{\text{к}}. \quad (11)$$

Комбинируя уравнения (5), (6) с уравнением (4), умноженным на u_2 , а также учитывая, что

$$\rho_1 u_1 \frac{du_1}{dx} + u_2 \frac{d(\rho_1 u_1)}{dx} = \frac{d(\rho_1 u_1^2)}{dx} + (u_2 - u_1) \frac{d(\rho_1 u_1)}{dx},$$

получим уравнение

$$\begin{aligned} \frac{d(\rho_1 u_1^2)}{dx} + (u_2 - u_1) \frac{d(\rho_1 u_1)}{dx} + \rho_2^0 \frac{d}{dx} [(1-m) u_2^2] = \\ = \frac{d}{dx} \left[\rho_2^0 v (1-m) \frac{du_2}{dx} \right] - \frac{dp}{dx}, \end{aligned}$$

интегрирование которого по x от $-\infty$ до $+\infty$ дает

$$\begin{aligned} \rho_{1\text{к}} u_{\text{к}}^2 - \rho_{1\text{н}} u_{\text{г}}^2 + \rho_2^0 (1-m_{\text{к}}) u_{\text{к}}^2 - \rho_2^0 (1-m_{\text{н}}) u_{\text{г}}^2 + \\ + p_{\text{к}} - p_{\text{н}} = \int_{-\infty}^{+\infty} (u_1 - u_2) \frac{d(\rho_1 u_1)}{dx} dx. \end{aligned} \quad (12)$$

Для оценки интеграла в правой части (12) определим значения характерных параметров в зоне прогрева и тепловой релаксации. Так как в зоне прогрева $\eta = 0$ и $W = 0$, то из уравнения (3) следует, что $\rho_{aH}u_1 = \rho_{aH}u_r = \text{const}$, т. е. $u_1 - u_r = \text{const}$. Соответственно из (5) получаем $u_2 = u_1 = \text{const}$.

Интегрируя выражение (2) по зоне тепловой релаксации и полагая в ней, согласно принятой модели, $W = 0$, $\eta = 0$, приходим к соотношению

$$u_1(\rho_1 - \rho_b) = u_k(\rho_{1k} - \rho_{bk}) = \text{const},$$

которое с учетом $\rho_a = 0$, $\rho_1 = \rho_b + \rho_n$ можно переписать

$$\rho_n u_1 = \rho_{n,k} u_k. \quad (13)$$

В рассматриваемом случае $\rho_n = \rho_{n,k}$, тогда $u_1 = u_k = \text{const}$ и в соответствии с этим из (5) имеем $u_2 = u_k = \text{const}$. Таким образом, на интервалах от $-\infty$ до $-x_*$ и от 0 до $+\infty$ разность $u_1 - u_2 = 0$ и интеграл в правой части (12) равен

$$\int_{-x_*}^0 (u_1 - u_2) \frac{d(\rho_1 u_1)}{dx} dx.$$

В случае активированных реакций, когда толщина зоны реакции достаточно мала, этот интеграл можно принять равным нулю¹. Тогда (12) примет вид

$$\rho_{1k} u_k^2 - \rho_{1H} u_r^2 + \rho_2^e (1 - m_k) u_k^2 - \rho_2^e (1 - m_H) u_r^2 + p_k - p_H = 0. \quad (14)$$

Разрешая последнее соотношение относительно u_k , запишем

$$\left(\frac{u_k}{u_r} \right)^2 = \frac{\rho_{1H} + \rho_2^0 (1 - m_H) - (p_k - p_H)/u_r^2}{\rho_{1k} - \rho_2^0 (1 - m_k)}. \quad (15)$$

Для определения параметров конечного состояния используем также уравнение состояния (девятое уравнение системы (1)), которое в приближении $R_{r,v} = R_{r,k}$ имеет вид

$$\frac{m_k}{m_H} = \frac{\rho_{1k} T_k p_H}{\rho_{1H} T_H p_k}. \quad (16)$$

Соотношения (10), (11), (15), (16) определяют конечные значения параметров T , m , u , ρ как функций параметров начального состояния и неизвестной априори скорости горения u_r . Для нахождения последней используем в дальнейшем балансовое соотношение в точке воспламенения, полученное в [6].

Скорость распространения горения

Начнем с определения максимальной температуры газовой фазы. Следуя подходу, развитому в [5, 6], воспользуемся моделью, согласно которой зона реакции представляется в виде узкого слоя, в котором интенсивно выгорают реагенты в условиях, близких к адиабатическим. Опустив в связи с последним в (7) член, учитывающий теплоотдачу в жидкость, проинтегрируем это уравнение по толщине зоны реакции. С учетом (3) получим следующее соотношение, определяющее температуру в конце зоны горения

$$T_{1m} = \frac{u_r \rho_{1H}}{u_k \rho_{1k}} \left[T_H + \frac{\rho_{aH} q_T}{c_1 \mu \rho_{1H}} - \frac{q_n}{c_1} \left(\frac{\rho_{1k}'' k}{\rho_{1H} u_r} - 1 \right) \right]. \quad (17)$$

В этом соотношении сумма первых двух членов, стоящих в квадратных

¹ Таким образом, эффекты двухскоростной модели проявляются только при конечной толщине зоны реагирования, т. е. для слабо активированных реакций.

скобках, характеризует максимальную температуру газа в нерасширяющихся пузырьках, третий член и множитель перед скобками учитывают деформацию пузырьков вследствие термического расширения газа.

Скорость распространения волны горения находится из уравнения теплового баланса в точке воспламенения

$$q_{\text{т}} z m \exp(-E/RT_{1*}) = \alpha S_* (T_{2*} - T_{1*}) \quad (18)$$

после определения входящих в это уравнение температур фаз T_{1*} и T_{2*} . Здесь S_* — межфазная поверхность в точке воспламенения. С этой целью рассмотрим изменение характерных величин в зонах прогрева и тепловой релаксации.

Зона прогрева. Интегрируя уравнения (4) от $-\infty$ до x , получим выражение

$$\rho_2^c(1-m)u_2 + \rho_1 u_1 = \rho_2^c(1-m_h)u_r + \rho_{1h} u_r, \quad (19)$$

из которого, учитывая приведенные выше оценки скоростей движения фаз в зоне прогрева ($u_1 = u_2 = u_r$), получим формулу для величины газосодержания

$$m = m_h \frac{1 - \rho_{1h}/\rho_2^0}{1 - \rho_1^0/\rho_2^0}. \quad (20)$$

При умеренных давлениях ($\rho_{1h}^0 \ll \rho_2^0$ и $\rho_1^0 \ll \rho_2^0$) можно принять $m \approx m_h$ и соответственно $S_* \approx S_h$. Интегрирование уравнения (9) от $-\infty$ до x приводит при сделанных допущениях к выражению

$$u_r [c_1 \rho_1 T_1 + c_2 \rho_2^0 (1 - m_h) T_2] = \lambda (1 - m_h) \frac{dT_1}{dx} + \\ + [c_1 \rho_{1h} T_h + c_2 \rho_2^0 (1 - m_h) T_h] u_r. \quad (21)$$

Поскольку в зоне прогрева $T_1 \approx T_2$ и $c_1 \rho_1 \ll c_2 \rho_2^0$, то (21) можно преобразовать следующим образом:

$$l_* \frac{dT_2}{dx} = T_2 - T_h, \quad (22)$$

$$l_* = \lambda / (c_2 \rho_2^0 u_r).$$

Интегрирование уравнения (22) с учетом условия $x = -x_*$, $T_2 - T_{2*}$ дает выражение для температуры жидкой фазы

$$T_2 = T_h + (T_{2*} - T_h) \exp |(x + x_*)/l_*|,$$

которое в случае тонкой зоны реакции примет вид

$$T_2 = T_h + (T_{2*} - T_h) \exp (x/l_*). \quad (23)$$

С учетом (23) проинтегрируем уравнение теплового баланса газовой фазы. Предварительно заметим, что из $m = m_h$, $u_2 = \text{const}$ и уравнения (4) следует, что в зоне прогрева $d(\rho_1 u_1)/dx = 0$. Соответственно этому выражение (7) записывается иначе:

$$c_1 \rho_{1h} u_r \frac{dT_1}{dx} = -\alpha S_h (T_1 - T_2), \quad (24)$$

$$S_h = (36\pi N)^{1/3} m_h^{2/3}.$$

После интегрирования уравнения (24) с учетом соотношения (23) получим выражение для температуры газовой фазы в зоне прогрева

$$T_1 = T_h + \frac{\alpha S_h (T_{2*} - T_h)}{c_1 \rho_{1h} u_r} \left(\frac{1}{l_*} + \frac{\alpha S_h}{c_1 \rho_{1h} u_r} \right)^{-1} \exp (x/l_*). \quad (25)$$

Полагая протяженность зоны реакции достаточно малой ($x_* \approx 0$), из (25)

находим для температуры газовой фазы в точке воспламенения

$$T_{1*} = T_h + \frac{\alpha S_h (T_{2*} - T_h)}{c_1 \rho_{1h} u_g} \left(\frac{1}{t_*} + \frac{\alpha S_k}{c_1 \rho_{1k} u_g} \right)^{-1}. \quad (26)$$

Зона тепловой релаксации. Интегрируя уравнение (4) от x до $+\infty$, получим соотношение

$$\rho_2^e (1 - m_k) u_k - \rho_2^e (1 - m) u_2 + \rho_{1k} u_k - \rho_1 u_1 = 0, \quad (27)$$

из которого с учетом равенства скоростей движения фаз в зоне релаксации ($u_1 = u_2 = u_k$) следует

$$m = m_k \frac{1 - \rho_{1k}^0 / \rho_2^0}{1 - \rho_1^0 / \rho_2^0} \approx m_k.$$

В силу равенств $m \approx m_k$ и $u_1 = u_2 = u_k$ производная $d(\rho_1/u_1)/dx = 0$ и $\rho_1 u_1 = \rho_{1k} u_k$ (см. (4)). С учетом этого (7) примет вид

$$c_1 \rho_{1k} u_k \frac{dT_1}{dx} = -\alpha S_k (T_1 - T_2), \quad (28)$$

$$S_k = (36\pi N)^{1/3} m_k^{2/3}.$$

Так как в зоне тепловой релаксации температура газовой фазы изменяется резко, а жидкой фазы слабо, то при решении уравнения (28) можно приближенно считать $T_2 \approx T_k$. В этом случае интегрирование (28) с учетом условия $x = 0$, $T_1 = T_{1m}$ дает

$$T_1 = T_k + (T_{1m} - T_k) \exp \left(-\frac{\alpha S_k}{c_1 \rho_{1k} u_k} x \right). \quad (29)$$

Используя (29), запишем уравнение (8) в виде

$$\frac{d^2 T_2}{dx^2} - \frac{c_2 \rho_2^0 u_k}{\lambda} \frac{dT_2}{dx} + \frac{\alpha S_v}{\lambda (1 - m_k)} (T_{1m} - T_k) \exp \left(-\frac{\alpha S_k}{c_1 \rho_{1k} u_k} x \right) = 0.$$

Интегрирование этого уравнения приводит к следующим выражениям для температуры жидкого реагента в произвольной точке зоны тепловой релаксации и в точке воспламенения:

$$T_2 = T_k - \frac{(T_{1m} - T_k) c_1 \rho_{1k} u_k}{(1 - m_k) [c_2 \rho_2^0 u_k + \lambda r_*]} \exp(-r_* x), \quad (30)$$

$$T_{2*} = T_k - \frac{(T_{1m} - T_k) c_1 \rho_{1k} u_k}{(1 - m_k) [c_2 \rho_2^0 u_k + \lambda r_*]}, \quad (31)$$

где $r_* = \alpha S_k / c_1 \rho_{1k} u_k$. Разрешая систему уравнений (26) и (31) относительно T_{1*} и T_{2*} с использованием (17), получим окончательно

$$T_{1*} = [(1 - a) T_h + a(1 + b) T_k - aQ] / (1 + \bar{u}ba), \quad (32)$$

$$T_{2*} [(1 + b) T_k - \bar{u}(1 - a) T_h - Q] / (1 + \bar{u}ba), \quad (33)$$

$$a = \frac{\alpha S_h}{c_1 \rho_{1h} u_g} \left(\frac{1}{t_*} + \frac{\alpha S_h}{c_1 \rho_{1h} u_g} \right), \quad b = \frac{c_1 \rho_{1k} u_k}{(1 - m_k) [c_2 \rho_2^0 u_k + \lambda r_*]},$$

$$\bar{u} = \frac{\rho_{1h} u_g}{\rho_{1k} u_k}, \quad Q = \bar{u} \left[\frac{\rho_{ah} q_T}{c_1 \mu \rho_{1h}} + \frac{q_{\Pi}}{c_1} \left(\frac{1}{\bar{u}} - 1 \right) \right].$$

Уравнение (18) для подстановки в него соотношений (32) и (33) непосредственно используется для определения скорости распространения горения.

Дополним полученные интегралы еще одним соотношением. Его получим, комбинируя (2) и (3):

$$\frac{d}{dx} [\rho_1 u_1 - \rho_b u_1 + \rho_{ah} (1 - \eta) u_1 / \mu] = 0.$$

Интегрируя это уравнение от начального до конечного состояния и учитя, что $\eta_a = 0$, $\eta_k = 1$, имеем

$$\frac{u_k}{u_r} = \frac{\rho_{1H} - \rho_{bH} + \rho_{aH}/\mu}{\rho_{1K} - \rho_{bK}},$$

или с учетом того, что $p_b = z_n \exp(-q_n/R_b T_2)$,

$$\frac{u_k}{u_r} = \frac{1 + \frac{\rho_{aH}}{\xi \rho_{1H}} - \frac{m_H}{\rho_{1H}} \frac{z_n}{R_b T_H} \exp(-q_n/R_b T_H)}{\frac{\rho_{1K}}{\rho_{1H}} - \frac{m_K z_n}{\rho_{1H} R_b T_K} \exp(-q_n/R_b T_K)}. \quad (34)$$

Полученная система уравнений (10), (11), (15), (16), (18), (34) служит для определения шести заранее неизвестных характеристик волны пузырькового горения m_k , T_k , p_k , ρ_{1K} , u_r , u_k . В безразмерных переменных она имеет следующий вид:

$$\begin{aligned} \frac{T_k}{T_H} &= \frac{u_r}{u_k} \frac{\beta \varepsilon / \gamma \mu + (1 + \delta) / \delta}{\rho_{1K} / \rho_{1H} + (1 - m_k) / [\delta(1 - m_H)]}, \\ m_k &= 1 + \frac{\rho_{1K} \delta}{\rho_{1H} c_{12}} (1 - m_H) - \frac{u_r}{u_k} (1 + \delta / c_{12}) (1 - m_H), \\ \left(\frac{u_r}{u_k} \right)^2 &= \frac{1 + c_{12} / \delta - \xi_k / (\delta U^2)}{\rho_{1K} / \rho_{1H} + c_{12} (1 - m_k) / [\delta (1 - m_H)]}, \\ \frac{\rho_{1K}}{\rho_{1H}} &= \frac{m_k T_H}{m_H T_K} \left(\frac{\xi_k}{\xi_H} + 1 \right), \\ \text{Se} \exp \left(\frac{A \bar{q}}{1 + \bar{u} ab} \right) &= \delta U^2 \left(\frac{A \bar{q}}{1 + \bar{u} ab} \right), \\ \frac{u_k}{u_r} &= \frac{1 + \varepsilon / \mu - \alpha}{\rho_{1K} / \rho_{1H} - \alpha \exp[-\Psi(T_H / T_K - 1)] m_k T_H / (m_H T_K)}. \end{aligned}$$

Здесь

$$\begin{aligned} \beta &= RT_H / E, \quad \varepsilon = \rho_{aH} / \rho_{1H}, \\ \delta &= \frac{c_1 \rho_{1H}}{c_2 \rho_2^0 (1 - m_H)}, \quad \gamma = \frac{c_1 R T_H^2}{q_T E}, \\ \xi_k &= \frac{(p_k - p_H) c_1 c_2 \rho_2^0 (1 - m_H)}{\alpha S_H \lambda}, \quad \bar{q} = \frac{q_n}{q_r}, \\ \xi_H &= \frac{p_H c_1 c_2 \rho_2^0 (1 - m_H)}{\alpha S_H \lambda}, \quad U = c_2 \rho_2^0 \dot{u}_r \sqrt{\frac{1 - m_H}{\alpha S_H \lambda}}, \\ \text{Se} &= \frac{z m_H q_T E}{\alpha S_H R T_H^2} \exp(-E/RT_H), \quad \Psi = \frac{q_n}{R_b T_H}, \\ c_{12} &= \frac{c_1}{c_2}, \quad a = \frac{1}{\delta U^2 + 1}, \quad \alpha = \frac{m_H z_n}{\rho_{1H} R_b T_H} \exp \left(-\frac{q_n}{R_b T_H} \right), \\ b &= \delta \frac{\rho_{1K} (1 - m_H)}{\rho_{1H} (1 - m_H)} \left(1 + \frac{\rho_{1H} S_K u_r^2}{\delta U^2 \rho_{1K} S_H u_k^2} \right), \\ A &= \frac{(T_K / T_H) (1 + b) - 1 - b \bar{u}}{\beta} - \frac{b \bar{u} \left(\frac{\varepsilon}{\mu} + \frac{\bar{q}(1 - \bar{u})}{\bar{u}} \right)}{\gamma}. \end{aligned}$$

Анализ процесса

На рис. 2—6 приведены результаты численных расчетов процесса распространения волны горения в пузырьковой среде, выполненных при таких же значениях физико-химических констант и режимных параметров, что и в работе [6].

На рис. 2 показаны зависимости конечных параметров m_k , T_k , p_k от начального значения газосодержания и параметра β (безразмерная начальная температура). Из графика видно, что рост m_k сопровождается монотонным, практически линейным увеличением конечной температуры пузырьковой среды. Это связано, во-первых, с ростом суммарного тепловыделения из-за увеличения содержания окислителя в пузырьковой среде и, соответственно этому, увеличения массы реагирующего вещества и, во-вторых, с уменьшением теплоемкости системы.

Повышение начального газосодержания приводит также к росту m_k . При этом темп изменения m_k оказывается значительно большим, чем темп изменения T_k . Это объясняется зависимостью величины m_k не только от термического расширения газа, обусловленного ростом температуры, но и от интенсивности испарения жидкого реагента, резко нарастающей с увеличением T_k .

Что касается влияния начальной температуры T_h на T_k , m_k и p_k , то, как видно из соответствующих графиков, рост параметра β ведет к увеличению значений m_k и T_k и к снижению p_k .

На рис. 3 сопоставлены зависимости пиковой температуры газовой фазы $\Theta_{max} = RT_{1\ max}/E$ от начальной температуры и газосодержания, относящиеся к двум различным моделям пузырьковых сред — с вмороженными или расширяющимися пузырьками. Из графиков видно, что характер зависимостей $\Theta_{max}(\beta)$ и $\Theta_{max}(m_h)$ в этих средах существенно различен. Это связано с тем, что в среде с вмороженными пузырьками выделяющаяся при горении теплота затрачивается только на изменение внутренней энергии газовой фазы. В модели среды с расширяющимися пузырьками относительное понижение пиковой температуры Θ_{max} связано с учетом дополнительного уноса теплоты из зоны реакции со скоростью $u_r > u_g$ (см. формулы (7) и (17)).

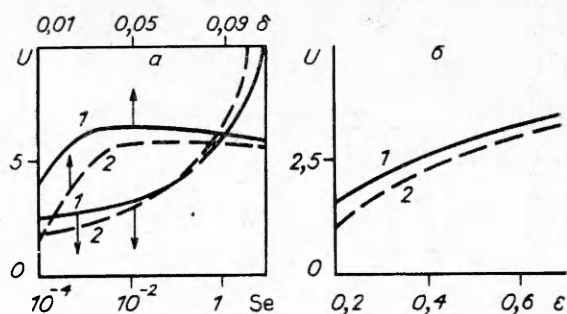
Влияние термического расширения газа на скорость распространения горения отражает рис. 4, на котором представлены зависимости $U(Se)$, $U(\delta)$ и $U(\epsilon)$, относящиеся к средам с вмороженными и расширяющимися пузырьками. В обоих случаях характер этих зависимостей сохраняется одним и тем же. Вместе с тем, имеет место значительное расхождение абсолютных значений скорости горения, рассчитанной в разных приближениях.



Рис. 2. Зависимость конечных параметров от газосодержания (—) и температуры (----).
1 — m_k/m_h ; 2 — T_k/T_h ; 3 — $(1 - p_k/p_h) \cdot 10^{10}$,

Рис. 4. Зависимость скорости распространения волны горения от параметров Se , δ (а) и ε (б).

1 — расширяющиеся пузырьки;
2 — вмороженные пузырьки.



На рис. 5 для ряда значений параметров ε , κ , γ , δ приведены данные о зависимости скорости распространения волны горения от числа Семенова.

Расчеты показывают, что при вариации названных параметров в достаточно широком диапазоне значений вид зависимости $U(Se)$ не меняется. Он сохраняется возрастающим и при $Se > Se_{kp}$ характеризуется отсутствием стационарных решений для U . Последнее указывает на то, что при $Se > Se_{kp}$ стационарные режимы горения не могут быть реализованы.

Местоположение расчетной кривой зависимости $Se_{kp}(\delta)$, а также других кривых, определяющих области реализации различных режимов горения, иллюстрирует рис. 6, на котором в параметрической плоскости $Se - \delta$ нанесены характерные граничные линии. Из графика следует, что учет гидродинамики течения приводит к расширению области существования стационарных режимов распространения горения.

Таким образом, данные расчетов свидетельствуют о заметном количественном расхождении результатов, относящихся к моделям среды с вмороженными и расширяющимися пузырьками. Вместе с тем, сохраняется идентичность в характере основных зависимостей, что позволяет при качественном исследовании сложного процесса ограничиться более простой моделью пузырьковой среды.

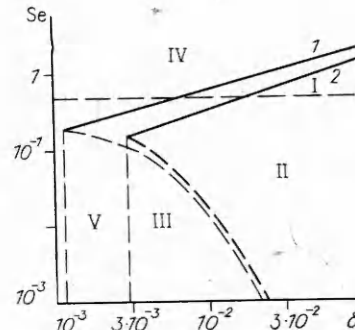
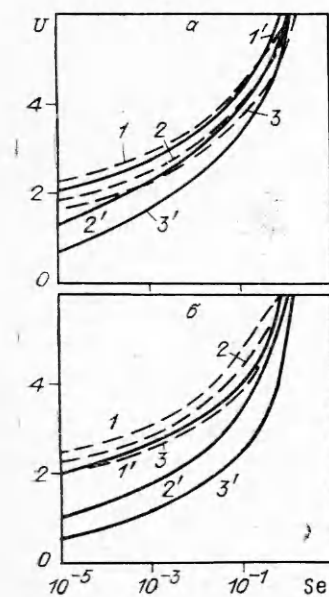


Рис. 6. Области существования различных режимов протекания химической реакции.

1 — $Se_{kp}(\delta)$ для расширяющихся пузырьков; 2 — $Se_{kp}(\delta)$ для вмороженных пузырьков; I, II — области существования стационарной волны горения; III — режим медленного превращения; IV, V — нестационарный высокотемпературный и низкотемпературный процессы.

Рис. 5. Зависимость $U(Se)$.

$a - \varepsilon = 0,7 (1'), 0,5 (2'), 0,3 (3')$, $\gamma = 5,3 \cdot 10^{-4} (1), 2 \cdot 10^{-4} (2), 10^{-4} (3)$; $\delta - \kappa = 10^{-3} (1'), 10^{-2} (2'), 2 \cdot 10^{-2} (3')$, $\delta = 0,03 (1), 0,05 (2), 0,08 (3)$.

ЛИТЕРАТУРА

1. Барышников Н. В., Гагер В. Э., Денисов Н. Д. и др. Металлургия циркония и гафния.— М.: Металлургия, 1979.
2. Гармата В. А., Гуляницкий Б. С. Металлургия титана.— М.: Металлургия, 1968.
3. Кордыш Е. И., Кузнецова А. Ф., Часовских В. И. Получение ацетилена и этилена методом погружного горения // Химическая промышленность.— 1973.— № 5.— С. 330—333.
4. Фридман Н. Б., Китаин М. М., Штейнберг А. С. и др. К механизму пузырькового воспламенения // Докл. АН СССР.— 1981.— 258, № 4.— С. 961—965.
5. Сухов Г. С., Ярин Л. П. Волны горения в пузырьковых средах // Там же.— 1981.— 256, № 2.— С. 376—380.
6. Сухов Г. С., Ярин Л. П. Закономерности горения пузырьковых сред // ФГВ.— 1981.— 17, № 3.— С. 10—18.
7. Лихачев В. Н., Сухов Г. С., Ярин Л. П. // Химическая физика процессов горения и взрыва. Горение конденсированных систем/Под ред. Б. В. Новожилова.— Черноголовка: ОИХФ АН СССР, 1986.— С. 120—122.
8. Ярин Л. П., Сухов Г. С. Основы теории горения двухфазных сред.— Л.: Энергоатомиздат, 1987.
9. Нигматулин Р. И. Основы механики гетерогенных сред.— М.: Наука, 1978.

г. Ленинград

Поступила в редакцию 9/I 1990,
после доработки — 16/X 1991

УДК 536.46

В. Н. Лихачев, Г. С. Сухов, Л. П. Ярин

К ТЕОРИИ ПУЗЫРЬКОВЫХ РЕАКТОРОВ ГОРЕНИЯ (реактор вытеснения)

Рассмотрен тепловой режим реактора вытеснения, в котором реагирует монодисперсная пузырьковая среда. Предложена модель тепловых процессов, происходящих в реакторе, существенно отличающаяся от известных моделей гомогенных однотемпературных реакторов.

Классификация режимов работы реактора основывается на методе динамического баланса, который состоит в сопоставлении вычисленных по длине канала в квазистационарном приближении, локальных значений скорости волны горения $u(x)$ с характерной скоростью u_0 . На основе решения системы уравнений, связывающей значения скорости распространения волны горения, положения фронта в канале реактора, начальной и конечной температур фаз, полноты выгорания в параметрической плоскости, определены области существования стационарных решений, проведена классификация устойчивых и неустойчивых состояний.

Исследование закономерностей горения пузырьковых сред представляет двоякий интерес. Он связан, во-первых, с широким применением таких сред в различных отраслях современной техники и технологии [1—3] и, во-вторых, в связи с изучением особенностей горения гетерогенных газожидкостных систем [4, 5].

В настоящее время достаточно подробно изучен механизм распространения волн горения в пузырьковых средах с вмороженными и расширяющимися пузырьками [5, 6]. Получены данные о скорости горения и влияния на нее различных параметров. В нуль-мерной модели рассмотрен тепловой режим горения пузырьковых сред и определены области реализации стационарных состояний пузырьковых реакторов идеального смешения [7]. В настоящей работе на основе метода динамического баланса [5] исследуются стационарные режимы пузырькового реактора вытеснения.

Система уравнений

Рассмотрим адиабатический реактор в виде трубы конечного размера, в который поступает пузырьковая реагирующая среда — активная жидкость, насыщенная монодисперсными пузырьками (рис. 1). При поджигании такой смеси в канале реактора формируется волна горения,